

## Цель работы:

1. Изучение свойств дискретизации аналоговых сигналов;
2. Изучение методов Фурье-анализа аналоговых сигналов.

## 1. Ход работы

1. Выполнить аналитический расчет спектров для двух классов сигналов (периодических и непериодических). В отчете представить графики исходных сигналов и полученных спектров, а также описать их характерные особенности.

### 1.2 Последовательность прямоугольных импульсов

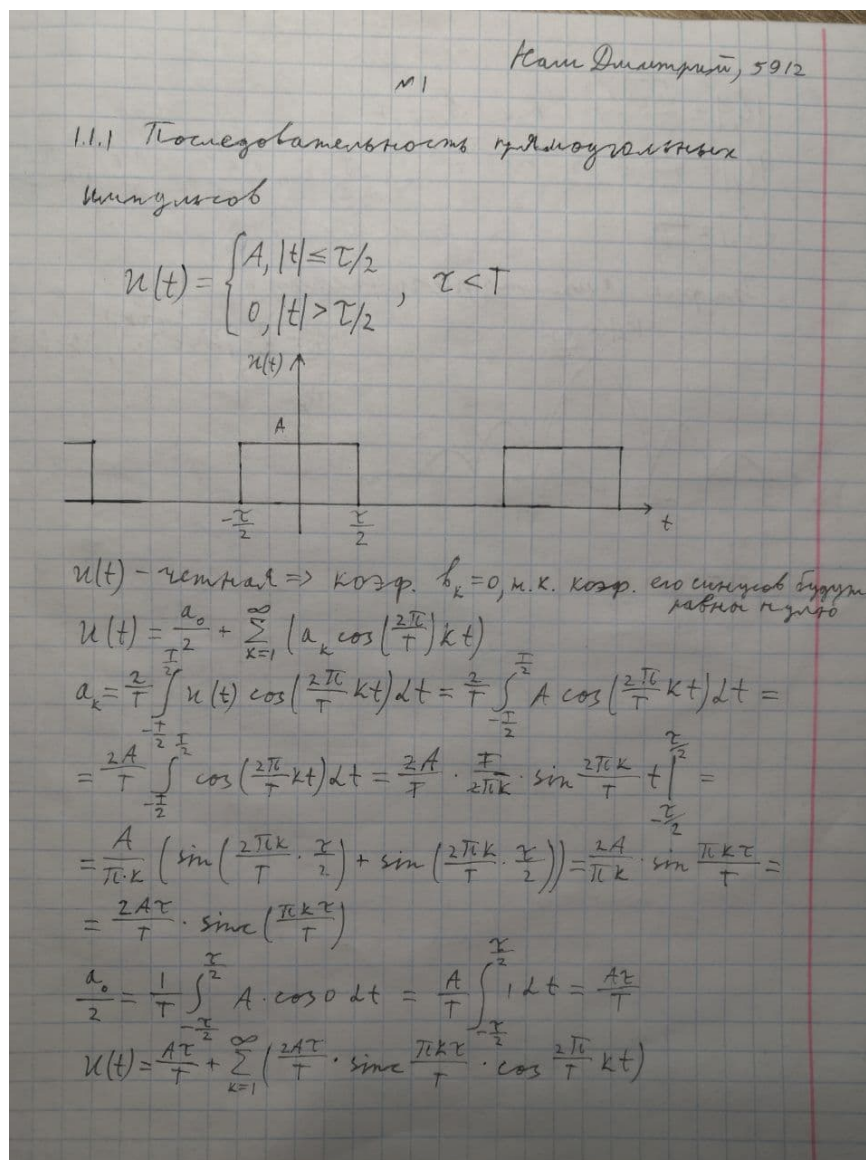


Рисунок 1 - Последовательность прямоугольных импульсов

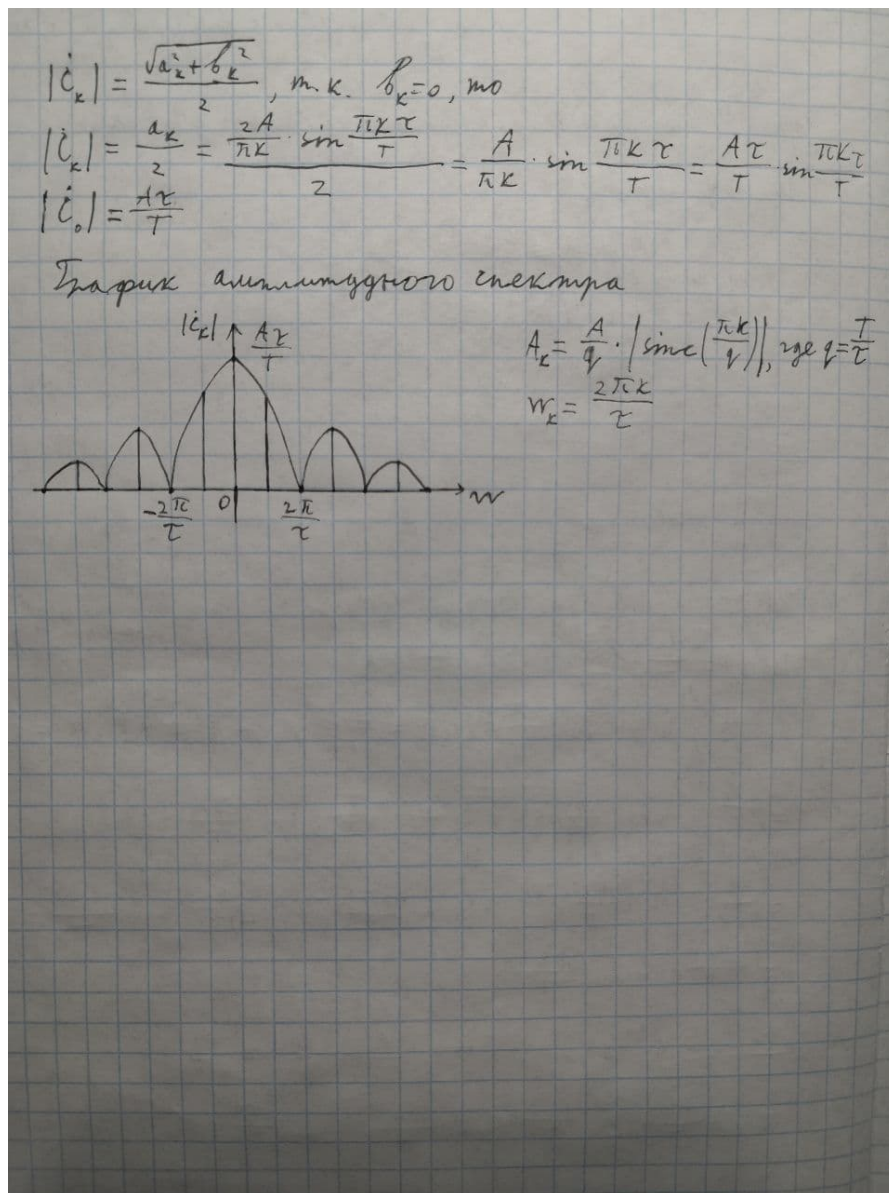
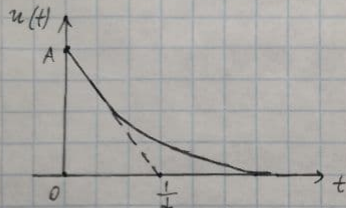


Рисунок 2 – График спектра

### 1.3 Односторонний экспоненциальный импульс

1.2.1. Односторонний экспоненциальный импульс

$$u(t) = \begin{cases} Ae^{-\lambda t}, & t \geq 0 \\ 0, & t < 0 \end{cases}$$



$$\begin{aligned} u(\omega) &= \int_{-\infty}^{+\infty} u(t) \cdot e^{-i\omega t} dt = \int_{-\infty}^0 u(t) \cdot e^{-i\omega t} dt + \int_0^{+\infty} u(t) \cdot e^{-i\omega t} dt = \\ &= A \int_0^{+\infty} e^{-\lambda t} \cdot e^{i\omega t} dt = A \int_0^{+\infty} e^{-(\lambda + i\omega)t} dt = A \left[ \frac{e^{-(\lambda + i\omega)t}}{-(\lambda + i\omega)} \right]_0^{+\infty} = \\ &= \frac{A}{-(\lambda + i\omega)} (-1) = \frac{A}{\lambda + i\omega} \end{aligned}$$

$$|A(\omega)| = |u(\omega)| = \left| \frac{A}{\lambda + i\omega} \right| = \frac{A}{\sqrt{\lambda^2 + \omega^2}}$$

$$|A(0)| = \frac{A}{\lambda}$$

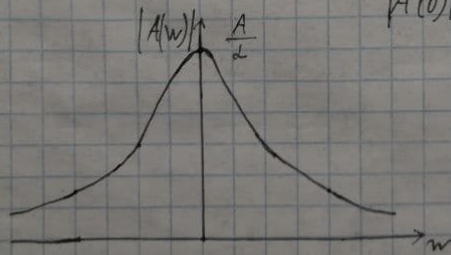


Рисунок 3 - Односторонний экспоненциальный импульс

2. Проанализировать свойства двух функций  $u_1(t) = \sin(2\pi f_1 t)$  и  $u_2(t) = \sin(2\pi f_2 t)$  в интервале  $[-T/2; T/2]$ .

Пусть  $f_1 = 2,5$  Гц,  $f_2 = 3$  Гц,  $T = 2$  с.

2.1 Вычислить все значения функций  $u_1(t)$  и  $u_2(t)$  на заданном интервале с шагом  $10^{-3}$ .

На интервале  $[-1; 1]$  построены графики функций исходных сигналов с

частотами  $f_1 = 2,5$  Гц и  $f_2 = 3$  Гц (рис. 6).

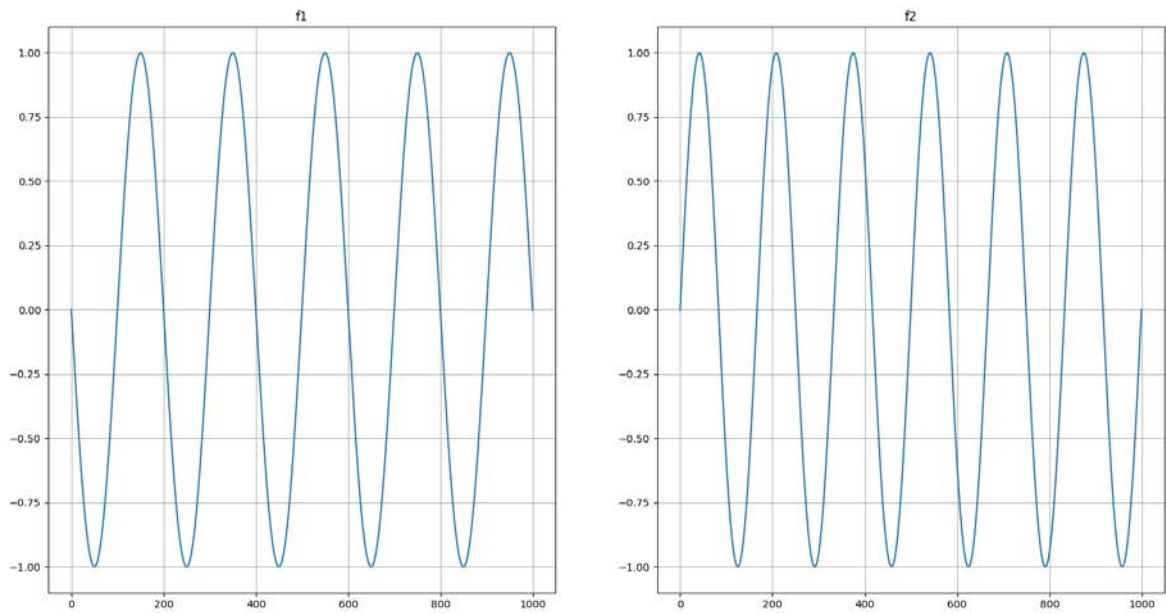


Рисунок 4 - Графики функций исходных сигналов

2.2 Вычислить приближенное значение скалярного произведения двух функций  $(u_1(t), u_2(t))$ .

Ниже приведена формула скалярного произведения (1).

$$(u_1(t), u_2(t)) = \frac{1}{T} \int_a^b u_1(t) \cdot u_2(t) dt = \quad (1)$$

$$(u_1(t), u_2(t)) = \frac{1}{T} \int_a^b u_1(t) \cdot u_2(t) dt = \frac{1}{T} \int_a^b \sin(2\pi f_1 t) \cdot \sin(2\pi f_2 t) dt =$$

$$= \frac{1}{2T} \left( \int_a^b \cos(2\pi t(f_1 - f_2)) dt - \int_a^b \cos(2\pi t(f_1 + f_2)) dt \right)$$

Так как интервал  $(a, b)$  равен  $[-T/2; T/2]$  и периоды функций  $u_1(t) = \sin(2\pi f_1 t)$  и  $u_2(t) = \sin(2\pi f_2 t)$  входят в данный интервал целым числом раз, скалярное произведение этих функций равно нулю. Вычисления приведены ниже.

$$T = \frac{k}{f_1} = \frac{n}{f_2}, \quad k, n \in \mathbb{N}$$

$$(u_1(t), u_2(t)) = \frac{1}{T} \int_{-T/2}^{T/2} \sin(2\pi t f_1) \cdot \sin(2\pi t f_2) dt =$$

$$= \frac{1}{2T} \left( \int_{-\frac{T}{2}}^{\frac{T}{2}} \cos(2\pi t(f_1 - f_2)) dt - \int_{-\frac{T}{2}}^{\frac{T}{2}} \cos(2\pi t(f_1 + f_2)) dt \right) = 0$$

Значение скалярного произведения было рассчитано в программе:

$$(u_1(t), u_2(t)) = 1.4013948354085718e^{-17}$$

Такое расхождение вызвано тем, что программно были вычислены суммы отсчётов.

### 2.3 Вычислить нормы обеих функций.

Ниже приведены формула вычисления нормы функции (2).

$$\|u(t)\| = \sqrt{\frac{1}{T} \cdot \int_a^b u^2(t) dt} \quad (2)$$

Интервал  $[-T/2; T/2]$  и периоды функций  $u_1(t) = \sin(2\pi f_1 t)$  и  $u_2(t) = \sin(2\pi f_2 t)$  входят в данный интервал целым числом раз.

$$T = \frac{k}{f_1} = \frac{n}{f_2}, \quad k, n \in N$$

$$\|u(t)\| = \sqrt{\frac{1}{T} \cdot \int_{-T/2}^{T/2} \sin(2\pi f t)^2 dt}$$

Значения нормы были рассчитаны в программе:

$$\|u_1\| = 0.7071068$$

$$\|u_2\| = 0.7071068$$

2.4 Определить, являются ли исходные функции ортогональными друг к другу.

Ниже приведено вычисление скалярного произведения.

$$\begin{aligned} (u_1(t), u_2(t)) &= \frac{1}{T} \int_a^b \sin(2\pi t f_1) \cdot \sin(2\pi t f_2) dt = \\ &= \frac{1}{2T} \left( \int_a^b \cos(2\pi t(f_1 - f_2)) dt - \int_a^b \cos(2\pi t(f_1 + f_2)) dt \right) \end{aligned}$$

Так как интервал  $(a, b)$  равен  $[-T/2; T/2]$  и периоды функций  $u_1(t) = \sin(2\pi f_1 t)$  и  $u_2(t) = \sin(2\pi f_2 t)$  входят в данный интервал целым числом раз, скалярное произведение этих функций равно нулю. Вычисления



приведены ниже.

$$T = \frac{k}{f_1} = \frac{n}{f_2}, \quad k, n \in \mathbb{N}$$

$$\begin{aligned} (u_1(t), u_2(t)) &= \frac{1}{T} \int_{-\frac{T}{2}}^{\frac{T}{2}} \sin(2\pi t f_1) \cdot \sin(2\pi t f_2) dt = \\ &= \frac{1}{2T} \left( \int_{-\frac{T}{2}}^{\frac{T}{2}} \cos(2\pi t (f_1 - f_2)) dt - \int_{-\frac{T}{2}}^{\frac{T}{2}} \cos(2\pi t (f_1 + f_2)) dt \right) = 0 \end{aligned}$$

Так как значение скалярного произведения равно нулю, функции  $u_1(t) = \sin(2\pi f_1 t)$  и  $u_2(t) = \sin(2\pi f_2 t)$  являются ортогональными друг к другу.

Значение скалярного произведения было рассчитано в программе:

$$(u_1(t), u_2(t)) = 1.4013948354085718e^{-17}$$

Такое расхождение вызвано тем, что программно вычисляются суммы отсчётов.

Таким образом, было выяснено, что функции  $u_1(t) = \sin(5\pi t)$  и  $u_2(t) = \sin(6\pi t)$  являются ортогональными друг к другу.

2.5 Как нужно изменить исходные функции, что они могли являться элементами ортонормированного базиса? Выполните данную модификацию и продемонстрируйте результат.

Для того, чтобы функции стали элементами ортонормированного базиса, нужно разделить их на собственные нормы:

$$g(t) = \frac{u(t)}{\|u(t)\|} \quad (3)$$

Значения норм функций были пересчитаны с помощью языка Python (см. приложение А):

$$\|s(t)\| = \sqrt{\frac{1}{b-a} \int_a^b \left( \frac{u(t)}{\|u(t)\|} \right)^2 dt} \quad (4)$$

$$\|s_1\| = 1$$

$$\|s_2\| = 1$$

2.6 Останутся ли исследуемые функции элементами ортонормированного базиса, если:

2.6.1. Частоты  $f_1$  и  $f_2$  удвоятся:

Функции  $s_1(t) = \sin(2\pi f_1 t)$  и  $s_2(t) = \sin(2\pi f_2 t)$  останутся элементами ортонормированного базиса, т.к. при увеличении частоты в 2 раза периоды функций уменьшаются в 2 раза, но все также будут целым числом раз входить в интервал  $[-T/2; T/2]$ .

$$T = \frac{k}{2f_1} = \frac{n}{2f_2}, \quad k, n \in N$$

$$\begin{aligned} (s_1(t), s_2(t)) &= \frac{2}{2T} \int_{-\frac{T}{2}}^{\frac{T}{2}} \sin(4\pi t f_1) \cdot \sin(4\pi t f_2) dt = \\ &= \frac{1}{T} \left( \int_{-\frac{T}{2}}^{\frac{T}{2}} \cos(4\pi t (f_1 - f_2)) dt - \int_{-\frac{T}{2}}^{\frac{T}{2}} \cos(4\pi t (f_1 + f_2)) dt \right) = 0 \end{aligned}$$

Таким образом, было выяснено, что функции  $u_1(t) = \sin(5\pi t)$  и  $u_2(t) = \sin(6\pi t)$  останутся элементами ортонормированного базиса, если частоты этих функций увеличатся вдвое.

2.6.2. Интервал  $[-T/2; T/2]$  увеличится вдвое:

Функции  $s_1(t) = \sin(2\pi f_1 t)$  и  $s_2(t) = \sin(2\pi f_2 t)$  останутся элементами ортонормированного базиса, т.к. при увеличении интервала  $[-T/2; T/2]$  в 2 раза периоды функций также будут целым числом раз входить в интервал  $[-T/2; T/2]$ .

$$T = \frac{k}{f_1} = \frac{n}{f_2}, \quad k, n \in N$$

$$\begin{aligned} (s_1(t), s_2(t)) &= \frac{1}{T} \int_{-T}^T \sin(2\pi t f_1) \cdot \sin(2\pi t f_2) dt = \\ &= \frac{1}{2T} \left( \int_{-T}^T \cos(2\pi t (f_1 - f_2)) dt - \int_{-T}^T \cos(2\pi t (f_1 + f_2)) dt \right) = 0 \end{aligned}$$

Таким образом, было выяснено, что функции  $u_1(t) = \sin(5\pi t)$  и  $u_2(t) = \sin(6\pi t)$  останутся элементами ортонормированного базиса, если интервал  $[-T/2; T/2]$  увеличится вдвое.

2.6.3. Интервал  $[-T/2; T/2]$  уменьшится вдвое:

Функции  $s_1(t) = \sin(2\pi f_1 t)$  и  $s_2(t) = \sin(2\pi f_2 t)$  останутся элементами ортонормированного базиса, только в случае, если их периоды будут целым числом раз входить в интервал  $[-T/4; T/4]$ .

$$\frac{T}{2} = \frac{k}{f_1} = \frac{n}{f_2}, \quad k, n \in N$$

$$\begin{aligned} (s_1(t), s_2(t)) &= \frac{4}{T} \int_{-T/4}^{T/4} \sin(2\pi t f_1) \cdot \sin(2\pi t f_2) dt = \\ &= \frac{2}{T} \left( \int_{-T/4}^{T/4} \cos(2\pi t (f_1 - f_2)) dt - \int_{-T/4}^{T/4} \cos(2\pi t (f_1 + f_2)) dt \right) = 0 \end{aligned}$$

Таким образом, было выяснено, что функция  $u_2(t) = \sin(6\pi t)$  останется элементом ортонормированного базиса, если интервал  $[-T/2; T/2]$  уменьшится вдвое. Однако, функция  $u_2(t) = \sin(5\pi t)$  не будет элементом ортонормированного базиса, если интервал  $[-T/2; T/2]$  уменьшится вдвое, так как ее период не будет целым числом раз входить в интервал  $[-T/4; T/4]$ .

3. Исследовать процедуру дискретизации синусоидального сигнала  $u(t)$  с частотой  $F$  Гц. Длительность наблюдения сигнала  $10/F$  секунд. Написать программу, которая позволит:

3.1 Сформировать выборки отсчетов  $u^{(i)}[n]$  (результаты дискретизации) исследуемого сигнала с частотами дискретизации  $f_d^{(i)}$  равными  $1.5F$ ,  $1.75F$ ,  $2F$ ,  $3F$ ,  $1000F$ . Применить ряд Котельникова для восстановления исходного сигнала по его дискретным отсчетам с помощью формулы. Вывести графики исходного сигнала и восстановленных сигналов  $u^{(i)}(t)$ , где  $i$  — индекс частоты дискретизации.

Восстановленный сигнал получен по формуле интерполяционного ряда Котельникова.



$$u(t) = \sum_{k=-\infty}^{\infty} u(nT_d) \text{sinc}\left(\pi \frac{t - nT_d}{T_d}\right) \quad (5)$$

### 3.1.1. 1.5F Гц

Произведена дискретизация исходного сигнала с частотой 1.5F, который затем был восстановлен. Результаты приведены на графике ниже (рис.7).

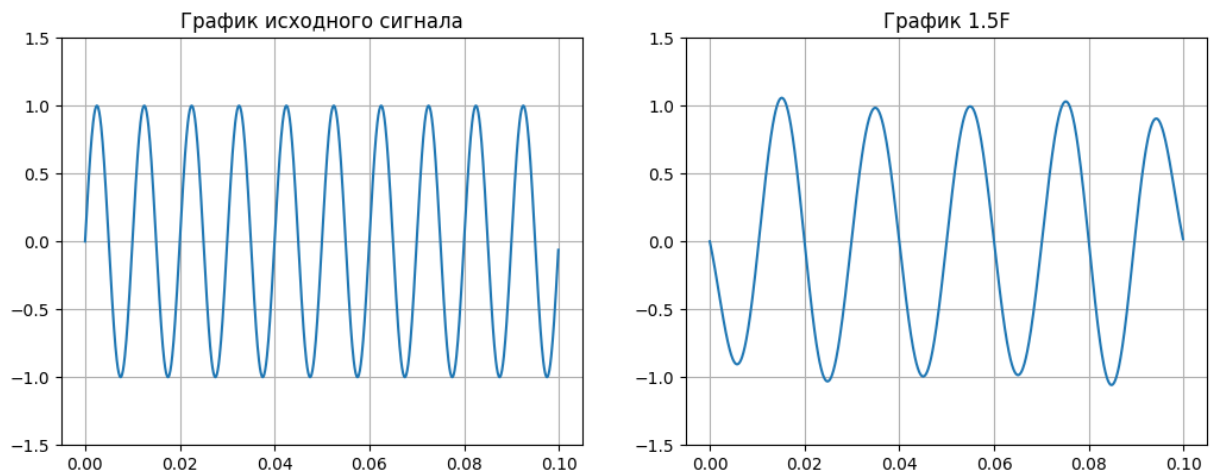


Рисунок 7 - Графики функций исходного и восстановленного сигналов

### 3.1.2. 1.75F Гц

Произведена дискретизация исходного сигнала с частотой 1.75F, который затем был восстановлен. Результаты приведены ниже (рис. 8).

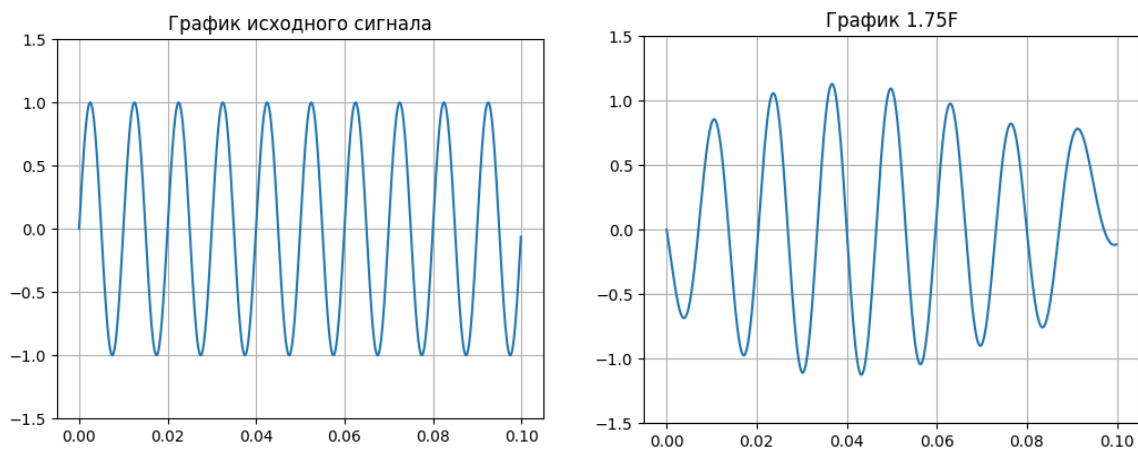


Рисунок 8 - Графики функций исходного и восстановленного сигналов

### 3.1.3. $2F$ Гц

Произведена дискретизация исходного сигнала с частотой  $2F$ , который затем был восстановлен. Результаты приведены ниже (рис. 9).

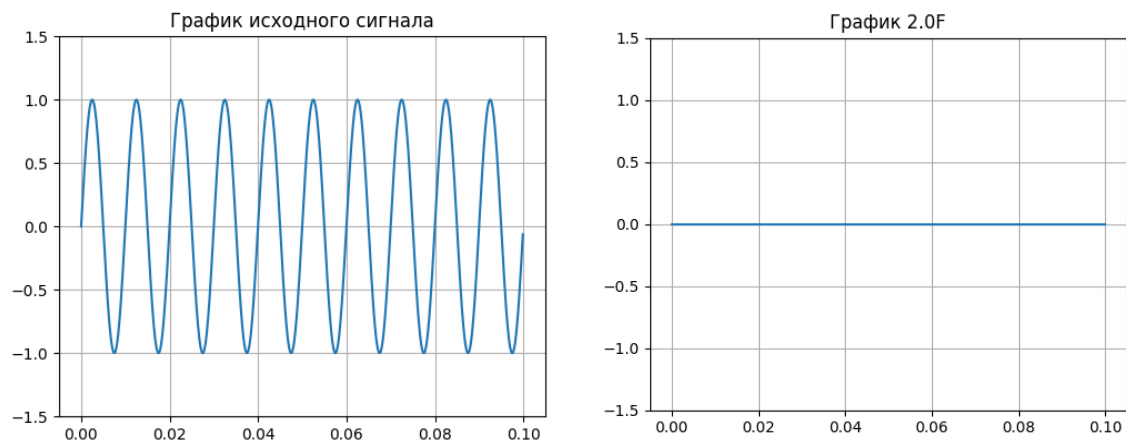


Рисунок 9 - Графики функций исходного и восстановленного сигналов

Таким образом, по рисунку 9 видно, что восстановление сигнала, дискретизированного с частотой  $2F$ , не происходит.

### 3.1.4. $3F$ Гц

Произведена дискретизация исходного сигнала с частотой  $3F$ , который затем был восстановлен. Результаты приведены ниже (рис. 10).

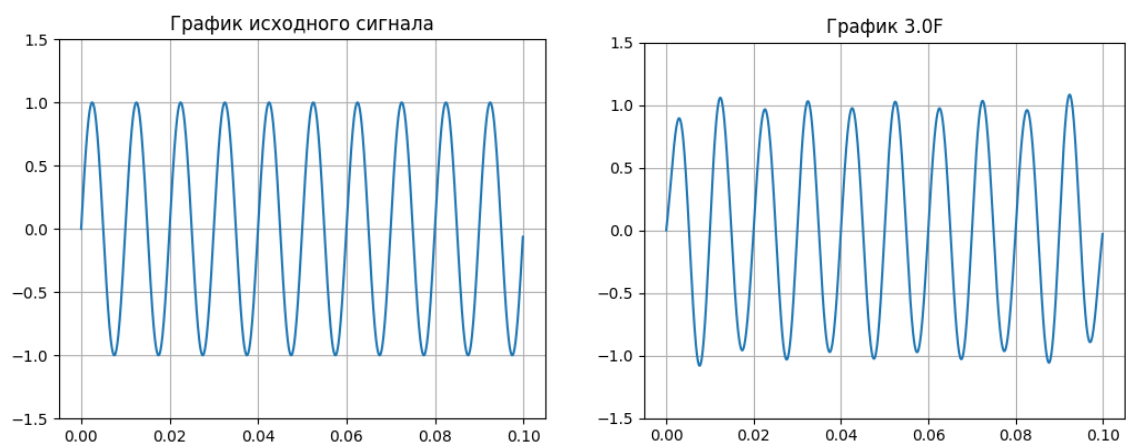


Рисунок 10 - Графики функций исходного и восстановленного сигналов

### 3.1.5. 1000F Гц

Произведена дискретизация исходного сигнала с частотой 1000F, который затем был восстановлен. Результаты приведены на графике ниже (рис. 11).

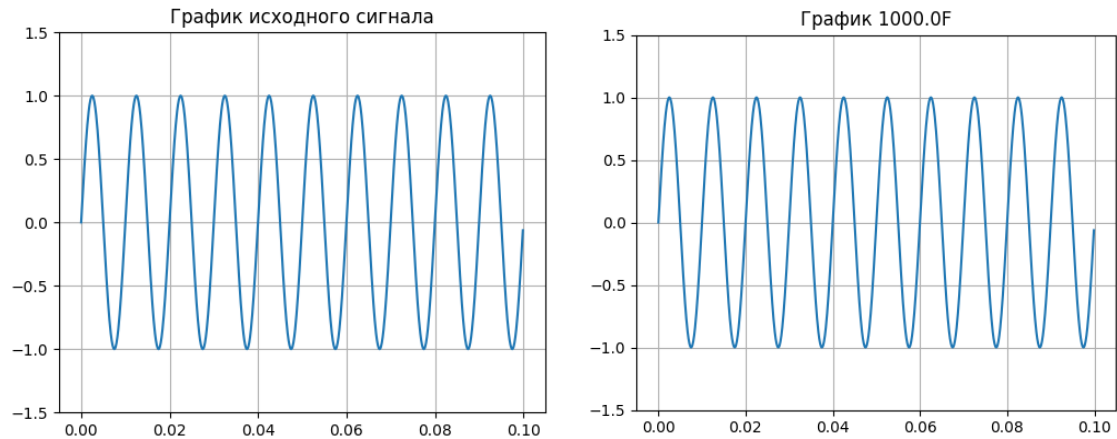


Рисунок 11 - Графики функций исходного и восстановленного сигналов

На рисунке ниже (рис. 12) продемонстрированы графики функций исходного сигнала и всех восстановленных сигналов с использованием формулы интерполяционного ряда Котельникова.

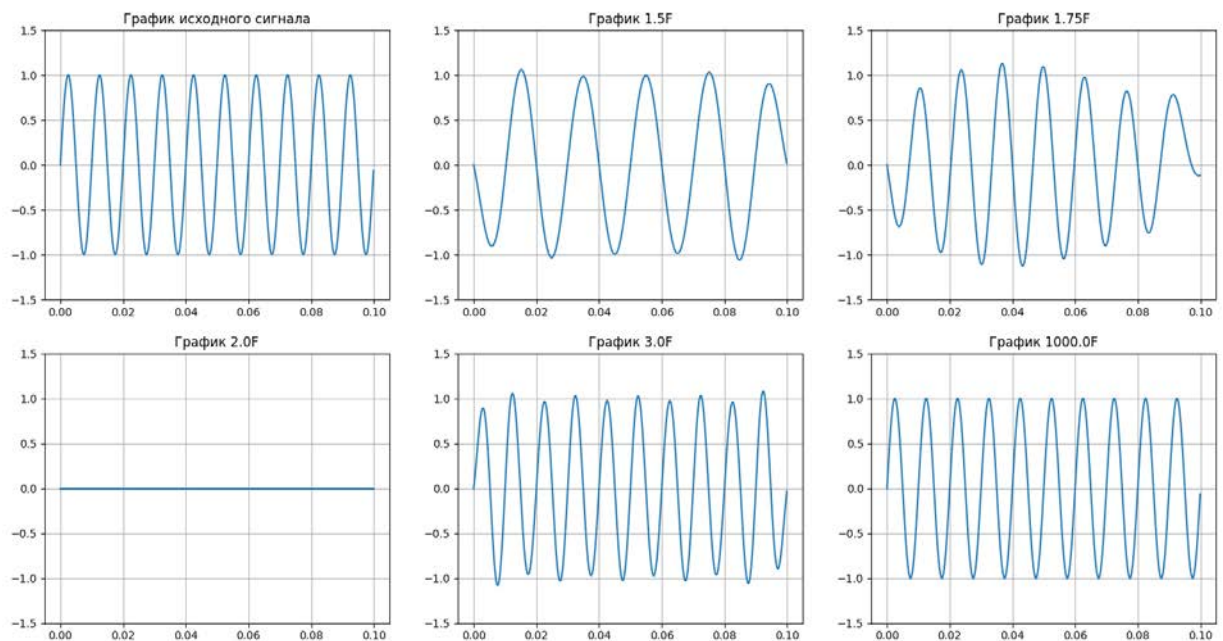


Рисунок 12 - Графики функций исходного и всех восстановленных сигналов

Было изучено, насколько точно можно восстановить исходный сигнал с помощью интерполяционного ряда Котельникова по формуле (5),

дискретизированный с равными частотами. По теореме Котельникова восстановление исходного аналогового сигнала возможно, если равномерная дискретизация выполняется с частотой  $f_d$ , минимум вдвое превышающую частоту  $f_c$ :  $f_d > 2 f_c$ .

Исходный синусоидальный сигнал с малой точностью восстановлен при малых частотах ( $1.5F$ ,  $1.75F$ ), с большей точностью восстановлен при выполнении теоремы Котельникова ( $3F > 2F$ ,  $1000F > 2F$ ), причем, чем больше частота дискретизации, тем точнее выполняется восстановление. Стоит отметить, что восстановление сигнала, дискретизированного с частотой  $2F$ , не происходит.

4. Реализовать процедуру передискретизации изображения с помощью интерполяционного ряда Котельникова. Формат исходного изображения – BMP24, разрешение исходного изображения  $W \times H$  пикселей. Результатом передискретизации будет изображение размером  $nW \times mH$ . Выполните передискретизацию с различными комбинациями значений  $m$  и  $n$ :

Описание алгоритма передискретизации

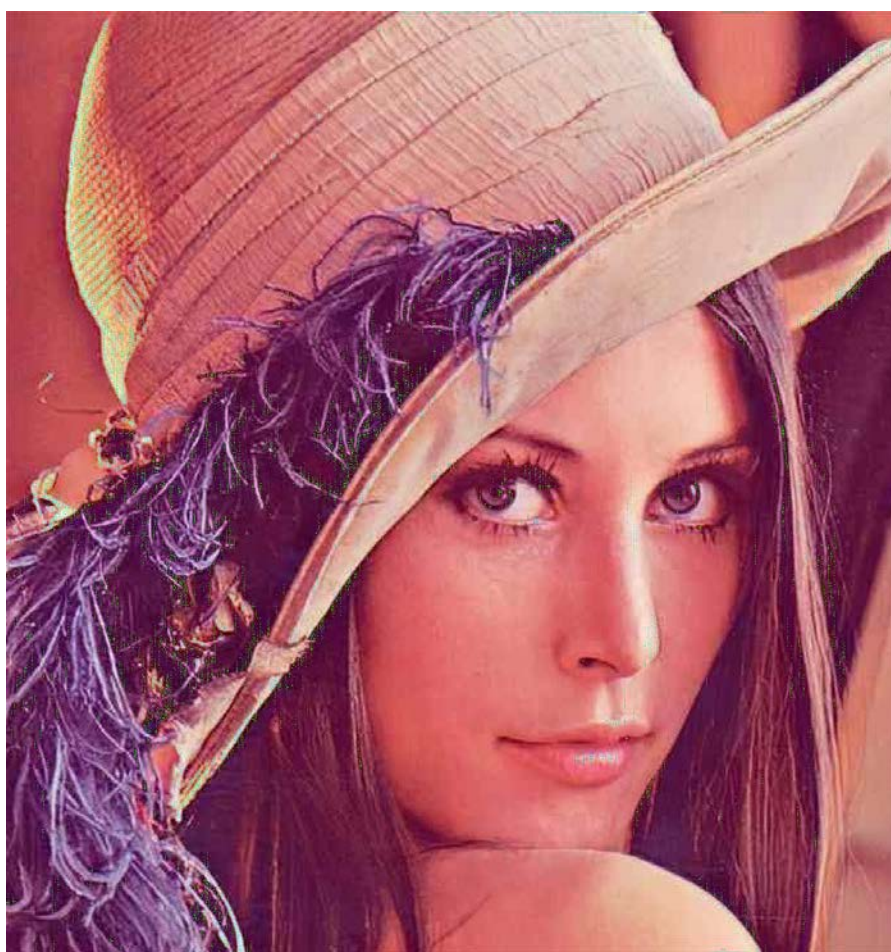
Задаются коэффициенты передискретизации  $m$  и  $n$ . Изначально каждый пиксель изображения считывается из BMP файла в массив размером  $[h \times w]$ . Создается новая матрица размером  $[n \cdot h \times m \cdot w]$ , которая заполняется пикселями исходной матрицы. Таким образом, полученная матрица представляет из себя массив отсчетов исходной матрицы, впоследствии в матрице отсчетов по каждой строке проводится восстановление сигнала по формуле интерполяционного ряда Котельникова.

Исходное изображение  $m = 1$ ,  $n = 1$  (рис. 13):



*Рисунок 13 - Исходное изображение*

4.1  $m > 1, n > 1$



*Рисунок 14 - Изображение при  $m = 2, n = 2$*



4.2  $m < 1, n < 1$



*Рисунок 15 - Изображение при  $t = 0.5, n = 0.5$*

4.3  $m > 1, n < 1$



*Рисунок 16 - Изображение при  $t = 2, n = 0.5$*

4.3  $m < 1, n > 1$



*Рисунок 17 - Изображение при  $t = 0.5$ ,  $n = 2$*

Можно заметить, что при передискретизации качество изображений снижается. Это связано с тем, что при уменьшении разрешения часть пикселей теряется, а при увеличении разрешения некоторые пиксели копируются, что приводит к размытию, потере качества изображения.



## Вывод

В ходе выполнения пункта 1 лабораторной работы был проведен анализ Фурье для периодического и непериодического сигналов. Также были построены графики сигналов, были посчитаны фазовые и амплитудные спектры рассмотренных сигналов, построены графики спектров.

В пункте 2 был проведен анализ двух функций  $u_1(t) = \sin(5\pi t)$  и  $u_2(t) = \sin(6\pi t)$ , по формулам (1) и (2) были соответственно определены их скалярное произведение и нормы. Было выяснено, что после преобразования данные функции являются элементами ортонормированного базиса, если разделить функции на собственные нормы. Также было выяснено, что функции  $u_1(t) = \sin(5\pi t)$  и  $u_2(t) = \sin(6\pi t)$  являются ортогональными друг к другу. Также можно сделать вывод, что при увеличении интервала вдвое и увеличении частот вдвое, функции остаются элементами ортонормированного базиса. А при уменьшении интервала вдвое функции останутся элементами ортонормированного базиса только в случае, если их периоды будут целым числом раз входить в рассматриваемый интервал, деленный пополам. В ходе выполнения задания было выяснено, что функция  $u_2(t) = \sin(6\pi t)$  останется элементом ортонормированного базиса, если интервал  $[-T/2; T/2]$  уменьшится вдвое. Однако, функция  $u_2(t) = \sin(5\pi t)$  не будет элементом ортонормированного базиса, если интервал  $[-T/2; T/2]$  уменьшится вдвое, так как ее период не будет целым числом раз входить в интервал  $[-T/4; T/4]$ .

При выполнении пункта 3 было изучено, насколько точно можно восстановить с помощью интерполяционного ряда Котельникова по формуле (5) исходный сигнал, ранее дискретизированный с равными частотами. По теореме Котельникова восстановление исходного аналогового сигнала возможно, если равномерная дискретизация выполняется с частотой  $f_d$ , минимум вдвое превышающую частоту  $f_c$ :

$$f_d > 2 f_c$$

Исходный синусоидальный сигнал с малой точностью восстановлен при малых частотах ( $1.5F$ ,  $1.75F$ ), с большей точностью восстановлен при выполнении теоремы Котельникова ( $3F > 2F$ ,  $1000F > 2F$ ), причем, чем больше частота дискретизации, тем точнее выполняется восстановление. Однако в ходе работы было выяснено, что восстановление сигнала, дискретизированного с частотой  $2F$ , не происходит.

На построенных восстановленных графиках можно заметить искажения. Это связано с тем, что графики строятся по отсчетам, а при наименьшей частоте дискретизации недостаточно отсчетов для построения точного графика функции.

В пункте 4 лабораторной работы передискретизировано изображение формата BMP с помощью интерполяционного ряда Котельникова.

Формат BMP хранит изображение в виде трехмерного массива пикселей  $[h, w, c]$ , где  $h$  – высота изображения,  $w$  – ширина изображения,  $c$  – количество цветовых компонент.

С помощью интерполяционного ряда Котельникова получены новые отсчеты  $[m*h, n*w, c]$  и заполнена матрица восстанавливаемого изображения. Результаты передискретизации представлены в пункте 4. Можно заметить, что качество изображения снижается. Это связано с тем, что при уменьшении разрешения часть пикселей теряется, а при увеличении разрешения некоторые пиксели копируются, что приводит к размытию, потере качества изображения.

## Листинг программы

```
#файл 1_2DSP.py

import math as math
import matplotlib.pyplot as plt

def integral(u, tn):
    integ = 0
    for i in range(1, len(tn)):
        integ += (tn[i] - tn[i - 1]) * ((u[i] + u[i - 1]) / 2)
    return integ

def scalar(u1, u2, tn):
    a = min(tn)
    b = max(tn)
    u = [u1[i] * u2[i] for i in range(len(tn))]
    return integral(u, tn) / (b - a)

def norma(u, tn):
    a = min(tn)
    b = max(tn)
    u = [i ** 2 for i in u]
    return math.sqrt(integral(u, tn) / (b - a))

def func(f, t):
    tmp = []
    for i in t:
        tmp.append(math.sin(2 * math.pi * f * i))
    return tmp

def calculate(u1, u2, tn):
    sc = scalar(u1, u2, tn)
```

```

norm1 = norma(u1, tn)
norm2 = norma(u2, tn)

print(f"Скалярное произведение: {sc}")
print(f"Норма u1: {norm1}")
print(f"Норма u2: {norm2}")
if -1e-6 < sc < 1e-6: # если скалярное произведение ненулевых
векторов = 0, то
    print("Ортогональные")
else:
    print("Не ортогональные")

if (-1e-6 < sc < 1e-6) & (norm1 < 1 + 1e-6) & (norm1 > 1 - 1e-6) &
\
    (norm2 < 1 + 1e-6) & (norm2 > 1 - 1e-6):
    print("Ортонормированный базис\n")
else:
    print("Не ортонормированный базис\n")

return norm1, norm2

def linspace(start, end, num):
    step = (end - start) / (num - 1)
    tn = [0] * num
    tmp = start
    for i in range(num): # 0-1000
        tn[i] = tmp
        tmp = tmp + step
    return tn

def dsp2():
    f1 = 2.5
    f2 = 3
    T = 2
    dt = 1000
    tn = linspace(-T / 2, T / 2, dt) # массив отсчетов

```

```

u1 = func(f1, tn) # вычисляем все значения u1 и u2
u2 = func(f2, tn)

fig, axes = plt.subplots(nrows=1, ncols=2)
axes[0].set(title='f1')
axes[1].set(title='f2')

fig.axes[0].grid() # график исходного сигнала
fig.axes[0].plot(u1)

fig.axes[1].grid() # график исходного сигнала
fig.axes[1].plot(u2)
plt.show()

norm1, norm2 = calculate(u1, u2, tn) # вычисляем скалярное
произведение, нормы 1 и 2

print("Векторы базиса должны быть попарно ортогональными и
единичными:")

u1 = [i / norm1 for i in u1]
u2 = [i / norm2 for i in u2]
calculate(u1, u2, tn)

print("Удвоим частоты f1 и f2:")
u1 = [i / norm1 for i in func(2 * f1, tn)]
u2 = [i / norm2 for i in func(2 * f2, tn)]
calculate(u1, u2, tn)

print("Увеличим интервал вдвое:")
tn = linspace(-T, T, dt)
u1 = [i / norm1 for i in func(f1, tn)]
u2 = [i / norm2 for i in func(f2, tn)]
calculate(u1, u2, tn)

print("Уменьшим интервал вдвое:")
tn = linspace(-T / 4, T / 4, dt)
u1 = [i / norm1 for i in func(f1, tn)]

```

```

        u2 = [i / norm2 for i in func(f2, tn)]
        calculate(u1, u2, tn)

dsp2()

#файл 1_3DSP.py

import math as math
import matplotlib.pyplot as plt

def func(f, t):
    tmp = []
    for i in t:
        tmp.append(math.sin(2 * math.pi * f * i))
    return tmp

def Sinc(x):
    if x == 0:
        wh = 1.0e-20
    else:
        wh = x
    y = math.pi * wh # если x==0, то 1
    return math.sin(y) / y

def interpolation(un, fn, t):
    T = 1 / fn
    inter = [0 for _ in t]
    for i in range(len(un)):
        for j in range(len(t)):
            x = ((t[j] / T) - i)
            inter[j] += un[i] * Sinc(x)
    return inter

```

```

def arange(start, end, step):
    num = int((end - start) / step)
    tn = [0] * num
    tmp = start
    for i in range(num):
        tn[i] = tmp
        tmp = tmp + step
    return tn

def dsp3():
    f = 100 # частота исходного сигнала
    T = 10 / f # длительность наблюдения сигнала
    t = arange(0, T, 1 / (100 * f))

    fd = [1.5 * f, 1.75 * f, 2 * f, 3 * f, 1000 * f] # частоты
    дескритизации
    td = [arange(0, T, 1 / i) for i in fd] # периоды дескритизации
    ud = [func(f, td[i]) for i in range(len(fd))] # выборки отсчетов

    fig, axes = plt.subplots(nrows=2, ncols=3)

    axes[0, 0].set(title='График исходного сигнала')
    axes[0, 1].set(title=f'График {fd[0] / f}F')
    axes[0, 2].set(title=f'График {fd[1] / f}F')
    axes[1, 0].set(title=f'График {fd[2] / f}F')
    axes[1, 1].set(title=f'График {fd[3] / f}F')
    axes[1, 2].set(title=f'График {fd[4] / f}F')

    fig.axes[0].grid() # график исходного сигнала
    fig.axes[0].set_ylim(-1.5, 1.5)
    fig.axes[0].plot(t, func(f, t))

    for i in range(1, len(fd) + 1): # графики восстановленных
    СИГНАЛОВ
        fig.axes[i].grid()
        fig.axes[i].set_ylim(-1.5, 1.5)
        fig.axes[i].plot(t, interpolation(ud[i - 1], fd[i - 1], t))

```



```

plt.show()

dsp3()

#файл 1_4DSP.py

import numpy as np
import matplotlib.image as mpl_image

def interpolation(un, fn, t):
    T = 1 / fn
    inter = [0 for _ in t]
    for i in range(len(un)):
        inter += un[i] * np.sinc((t / T) - i)
    return inter

def dsp4(m, n, num):
    img = mpl_image.imread("Lenna.bmp", "bmp")
    height, width, channels = img.shape

    new_height = int(height * n)
    new_width = int(width * m)

    new_img1 = np.zeros((height, new_width, channels), np.uint8)
    for i in range(height):
        for k in range(channels):
            new_img1[i, :, k] = interpolation(img[i, :, k], 1 / m,
np.array(range(new_width)))

    new_img2 = np.zeros((new_height, new_width, channels), np.uint8)
    for j in range(new_width):
        for k in range(channels):

```

```
new_img2[:, j, k] = interpolation(new_img1[:, j, k], 1 /  
n, np.array(range(new_height)))
```

```
mpl_image.imsave(f"NewLenna{num}.bmp", new_img2)
```

```
dsp4(2, 2, 1)
```

```
dsp4(0.5, 0.5, 2)
```

```
dsp4(2, 0.5, 3)
```

```
dsp4(0.5, 2, 4)
```